

BEST-26,383

1/8

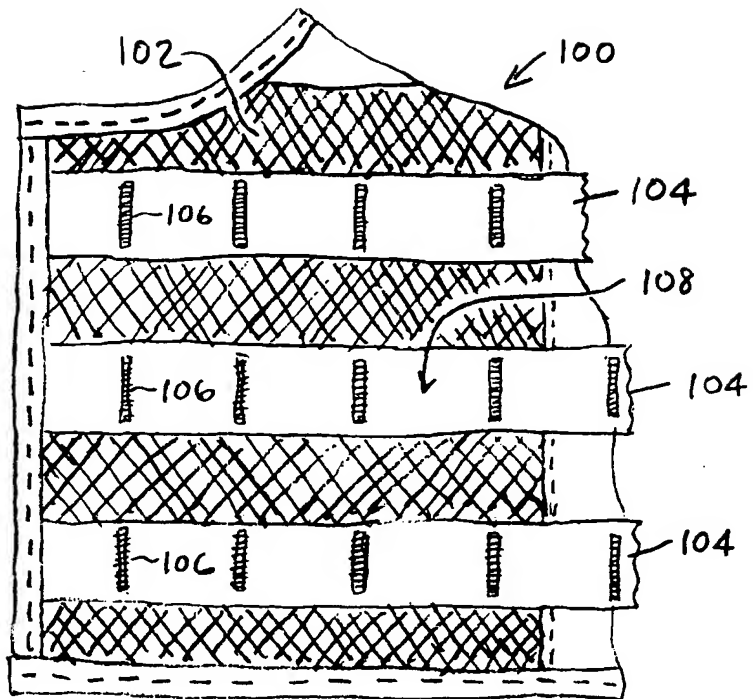


FIG. 1 (PRIOR ART)

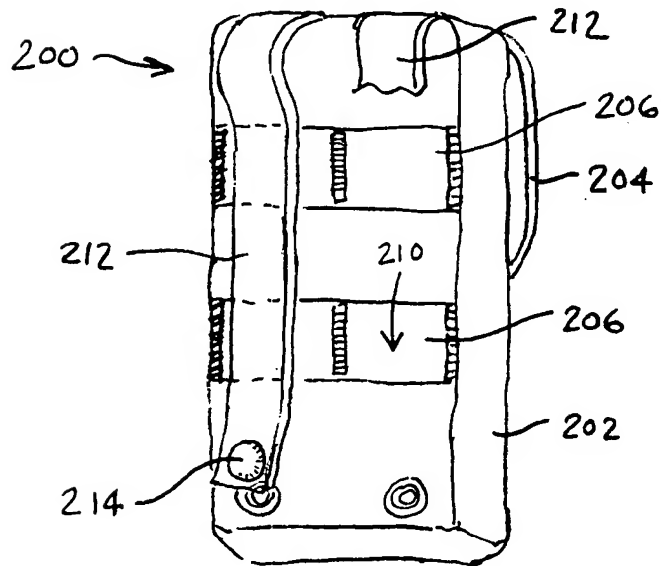


FIG. 2 (PRIOR ART)

BEST - 26,383

2/8

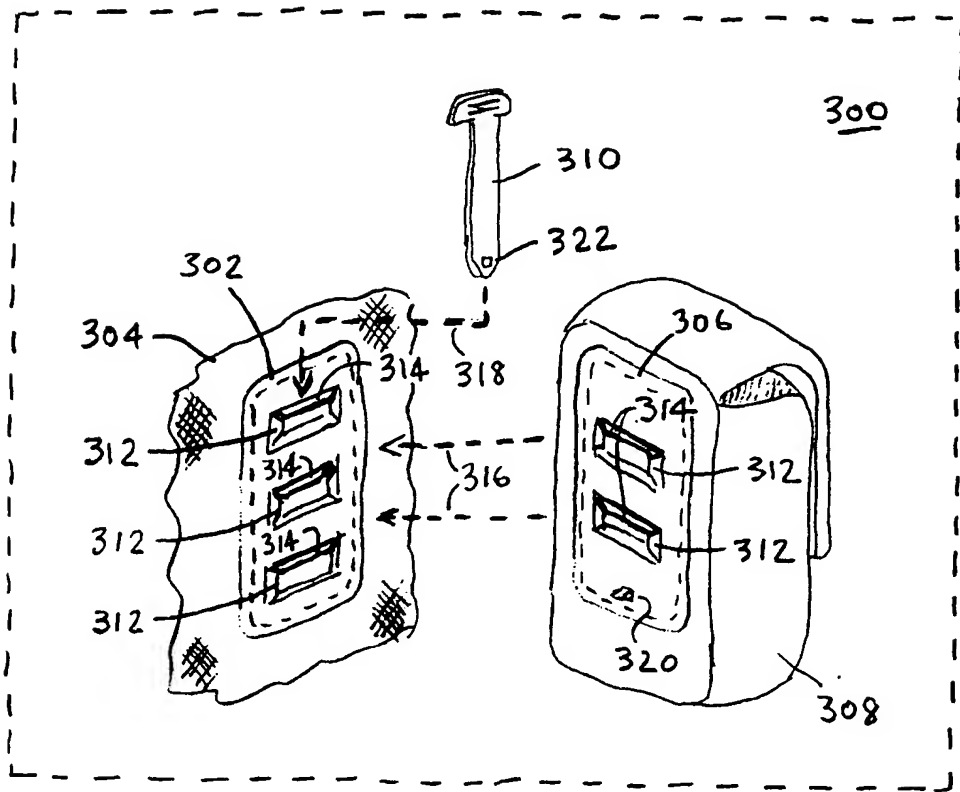


FIG. 3

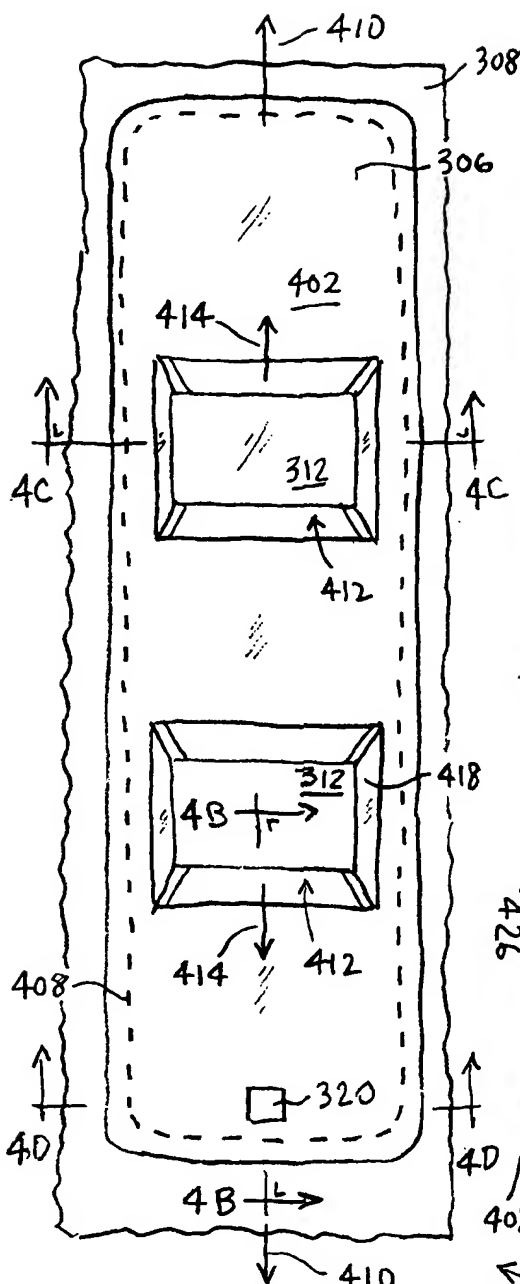


FIG. 4A

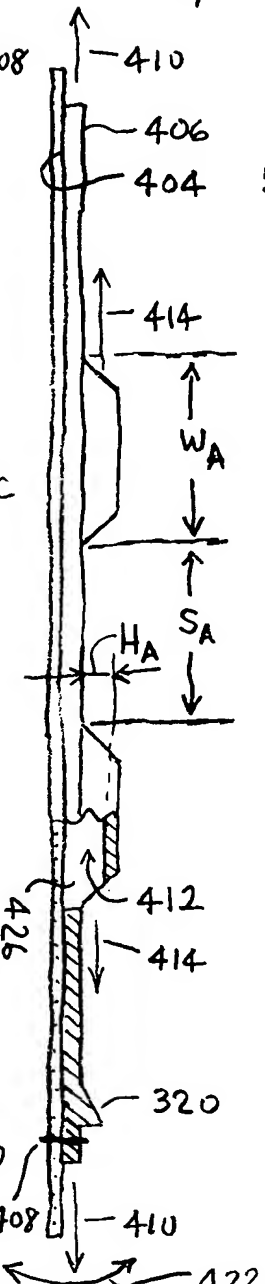


FIG. 4B

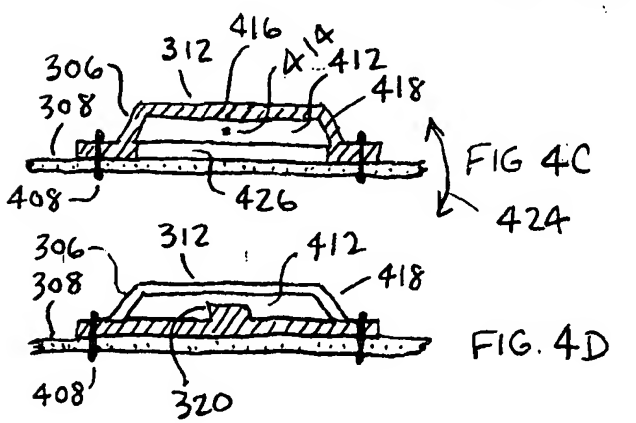


FIG. 4D

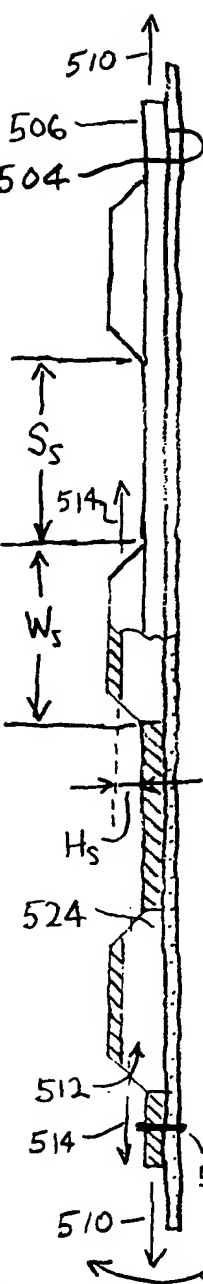


FIG. 5B

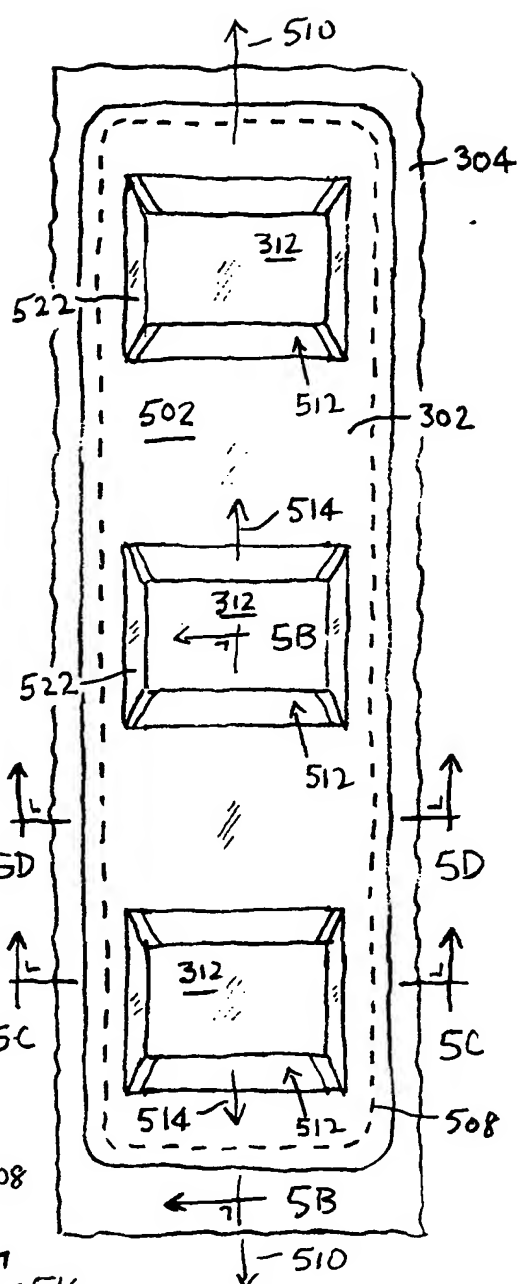


FIG. 5A

FIG. 5C

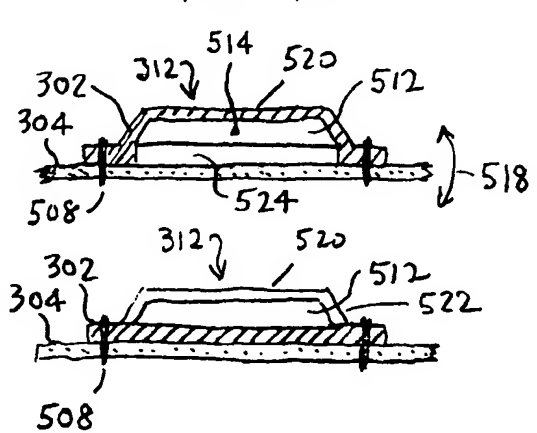


FIG. 5D

BEST - 26, 383

4/8

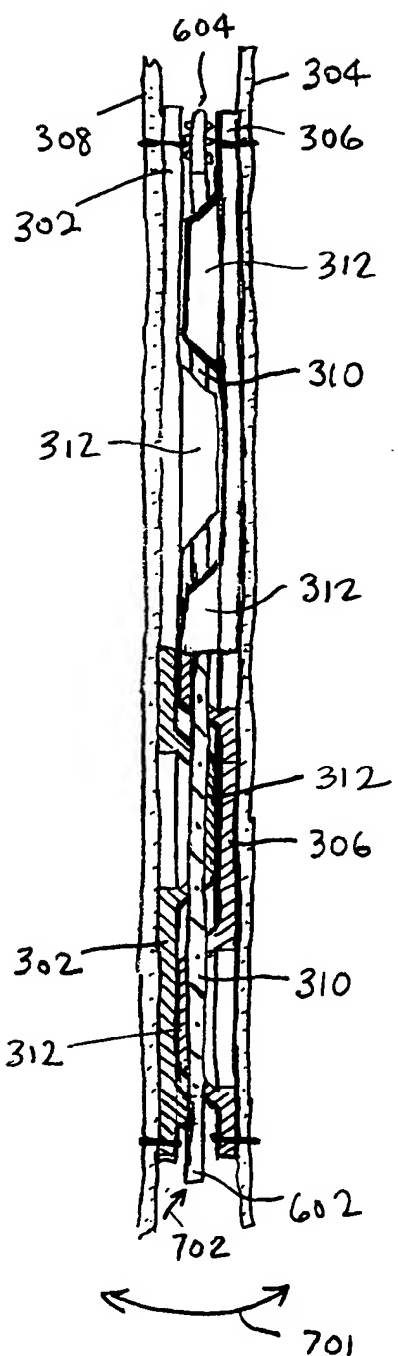
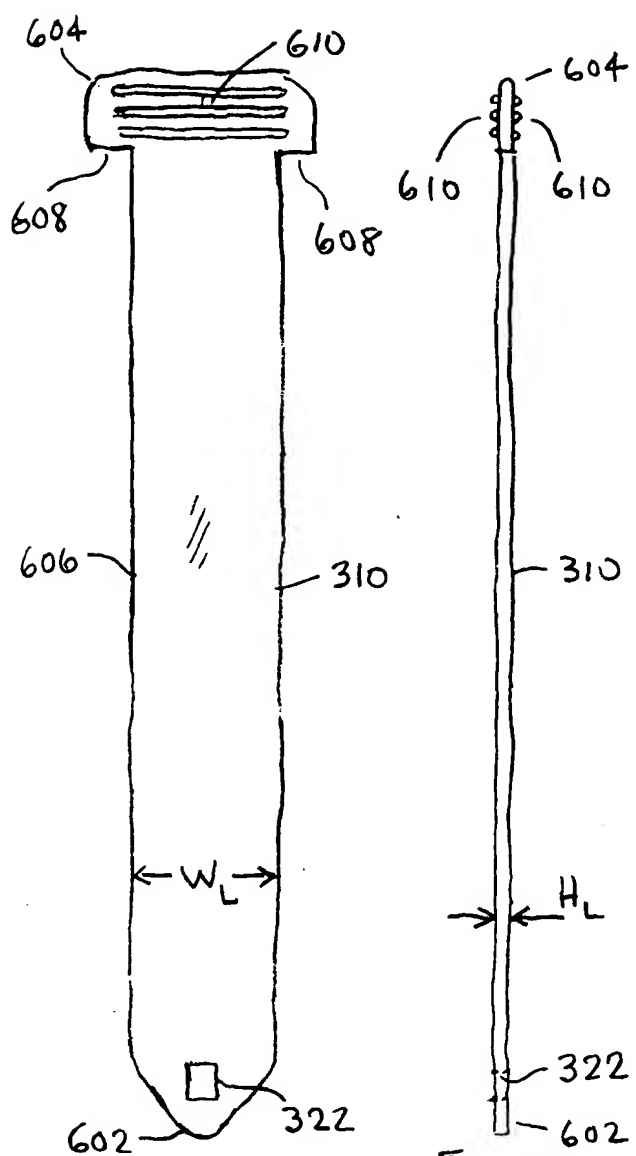


FIG. 7

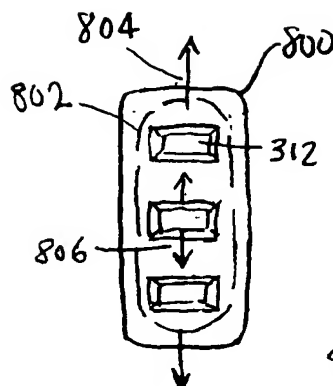


FIG. 8

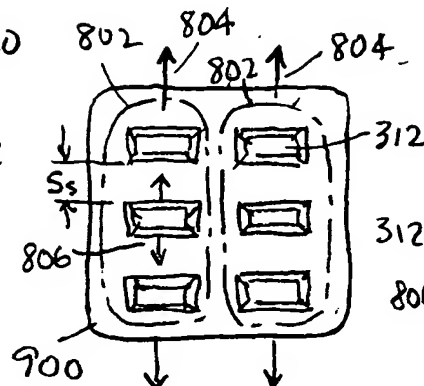


FIG. 9

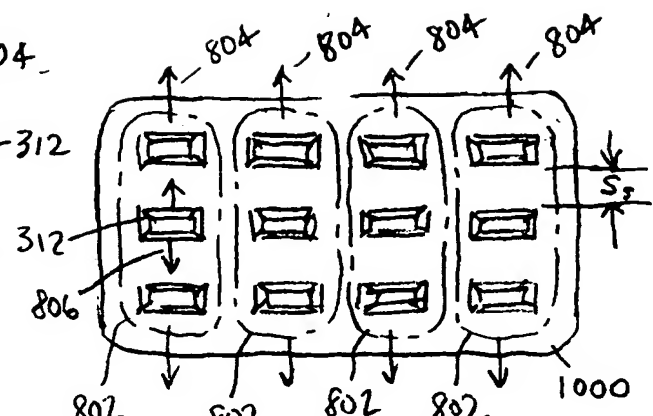


FIG. 10

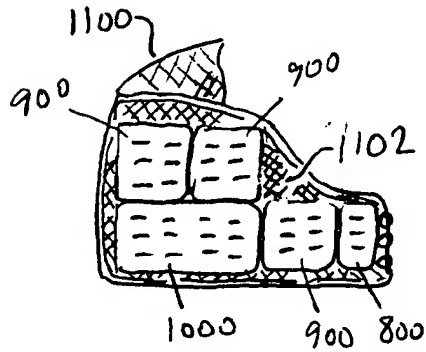


FIG. 11

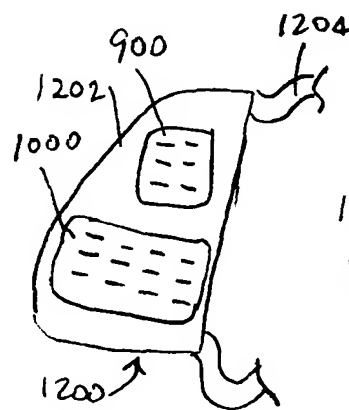


FIG. 12A

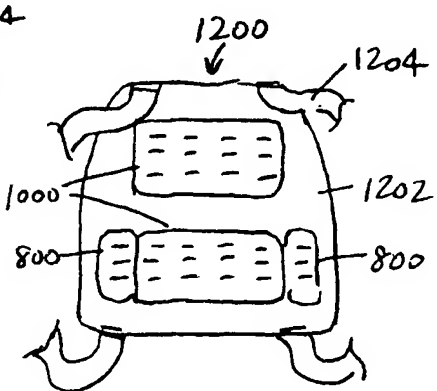


FIG. 12B

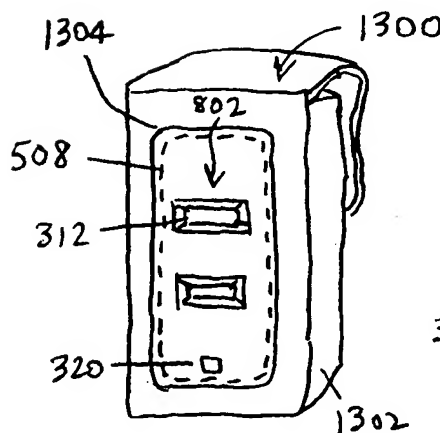


FIG. 13

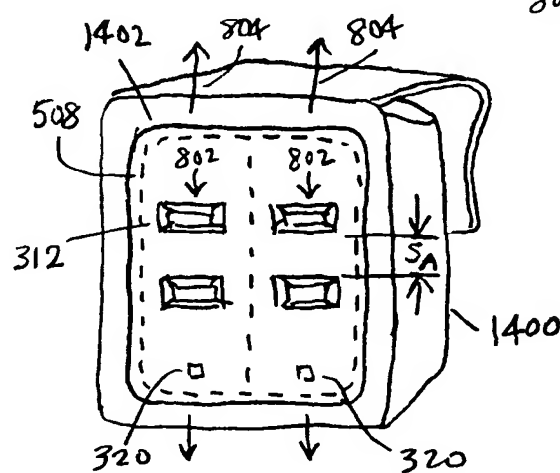


FIG. 14

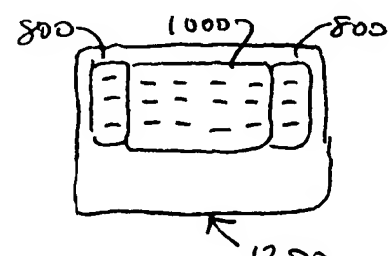


FIG. 12C

BEST - 26,383

6/8

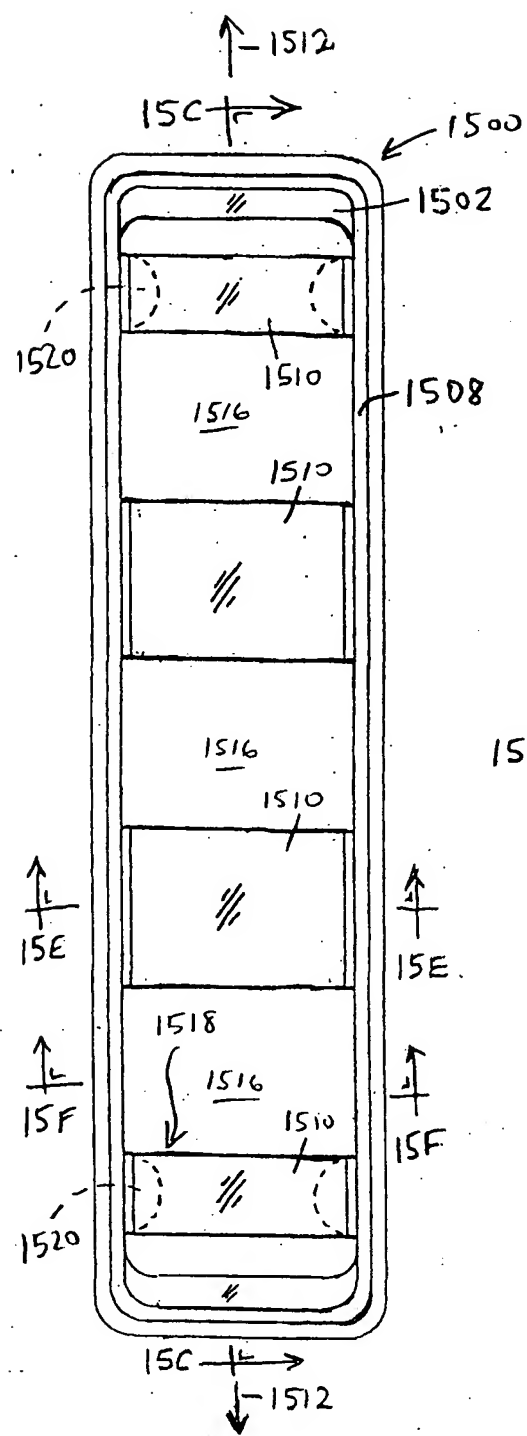


FIG. 15A

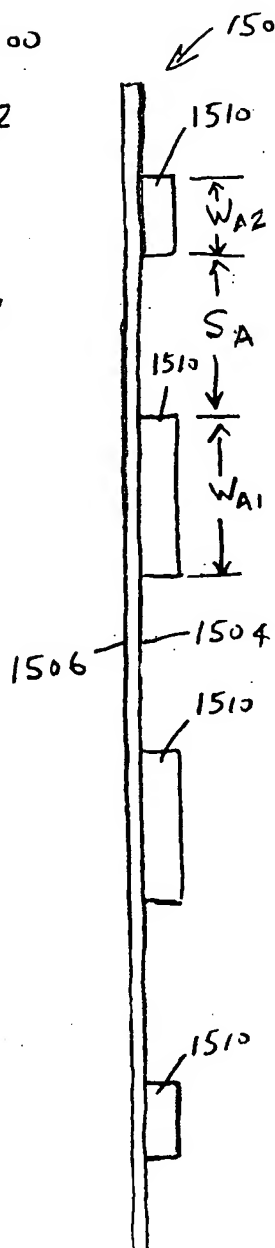


FIG. 15B

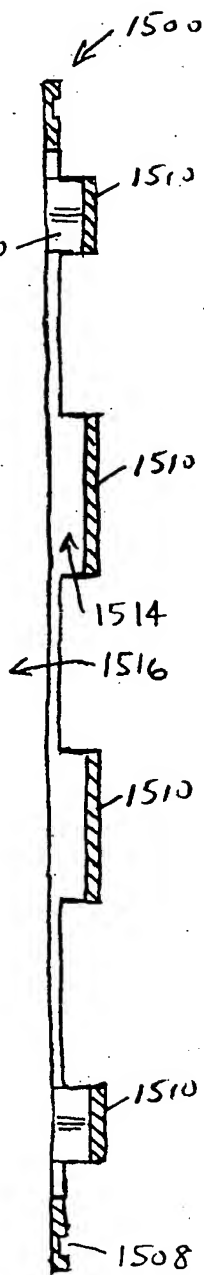


FIG. 15C

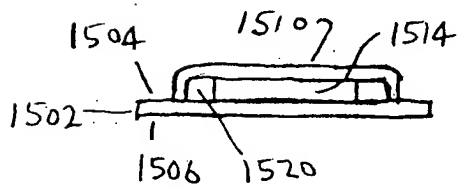


FIG. 15D

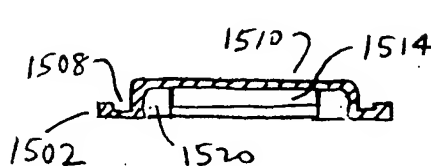


FIG. 15 E

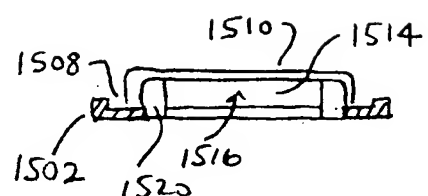


FIG. 15 F

BEST - 26,383

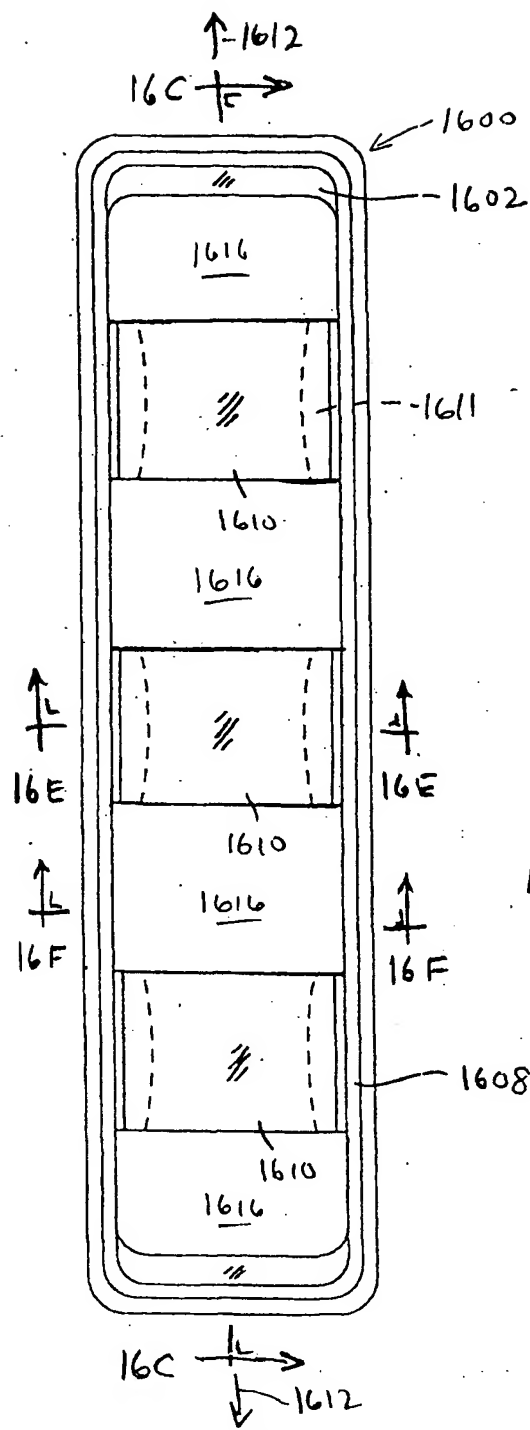


FIG. 16 A

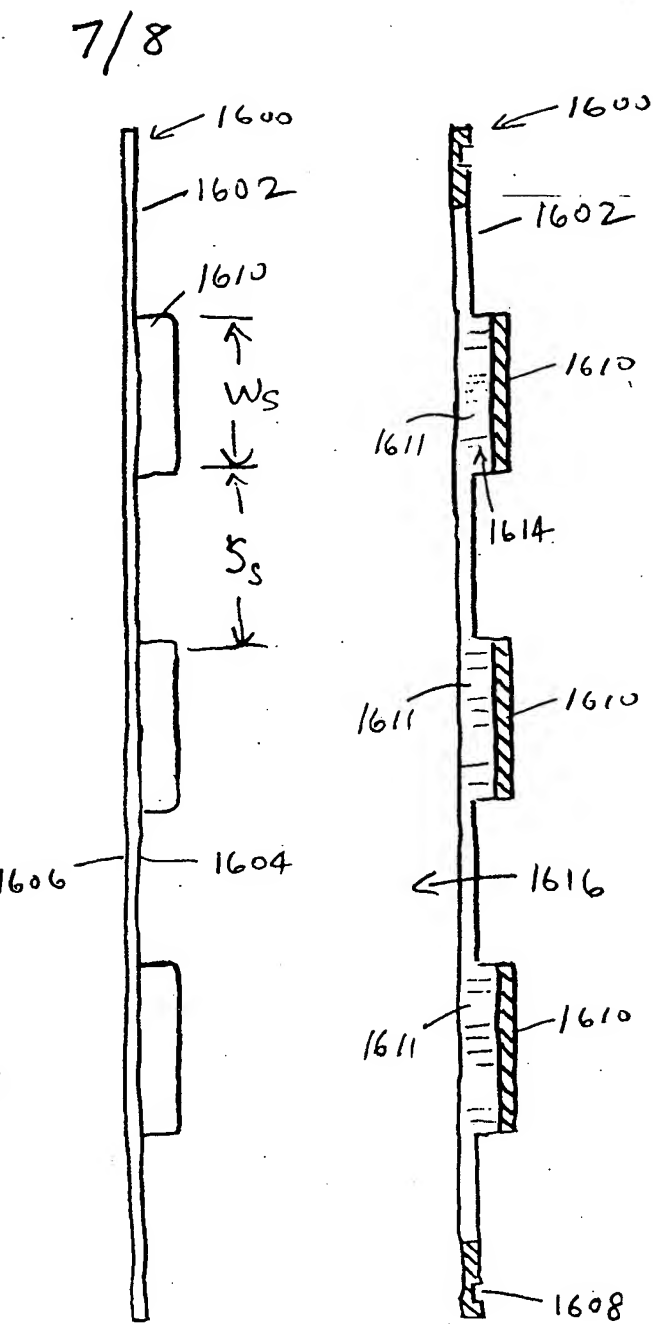


FIG. 16 B

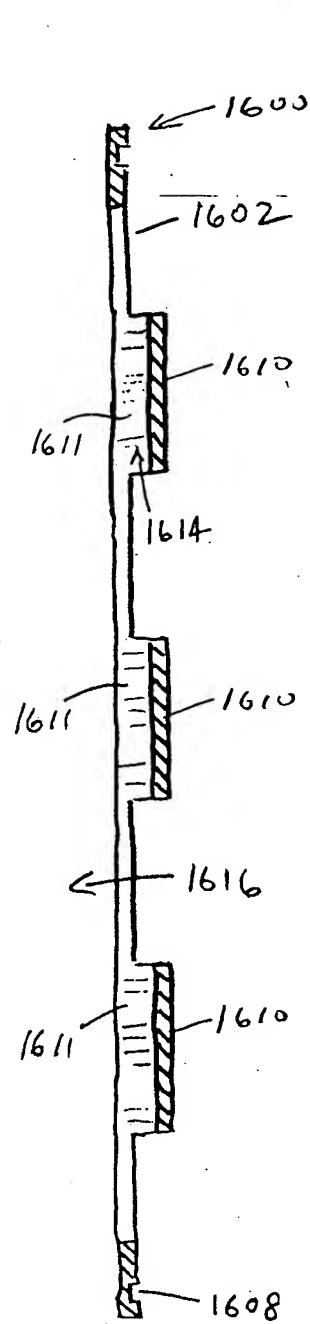


FIG. 16C

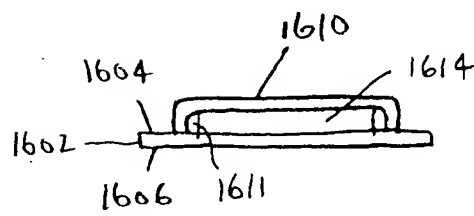


FIG. 16 D

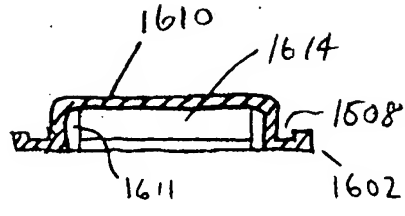


FIG. 16 E

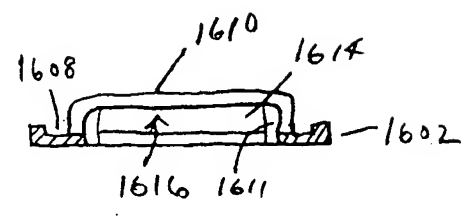


FIG. 16 F

BEST - 26,383

8/8

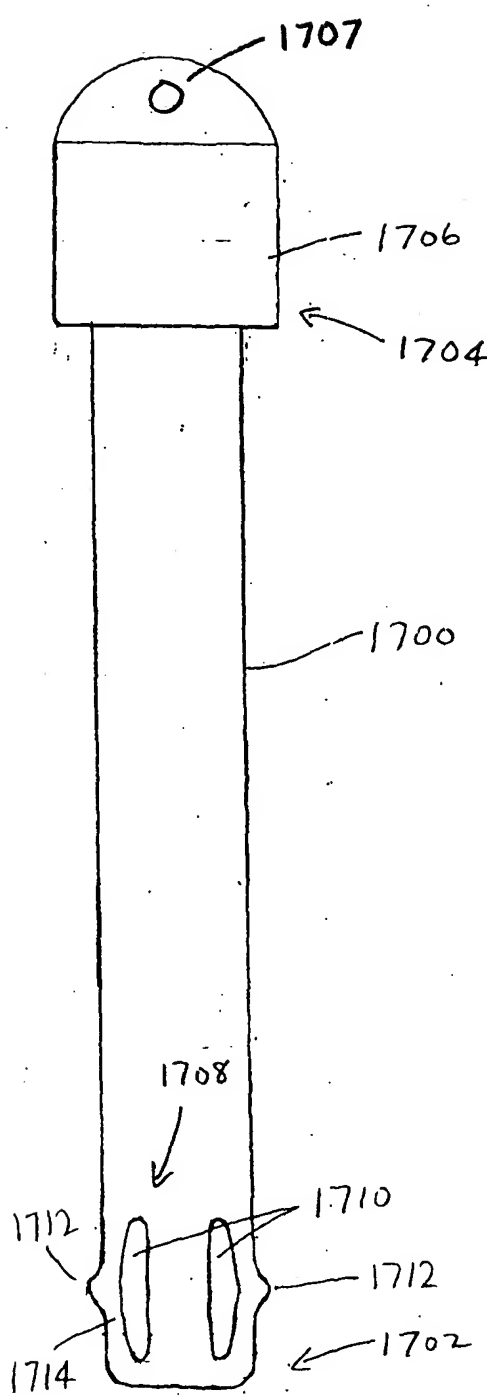


FIG. 17

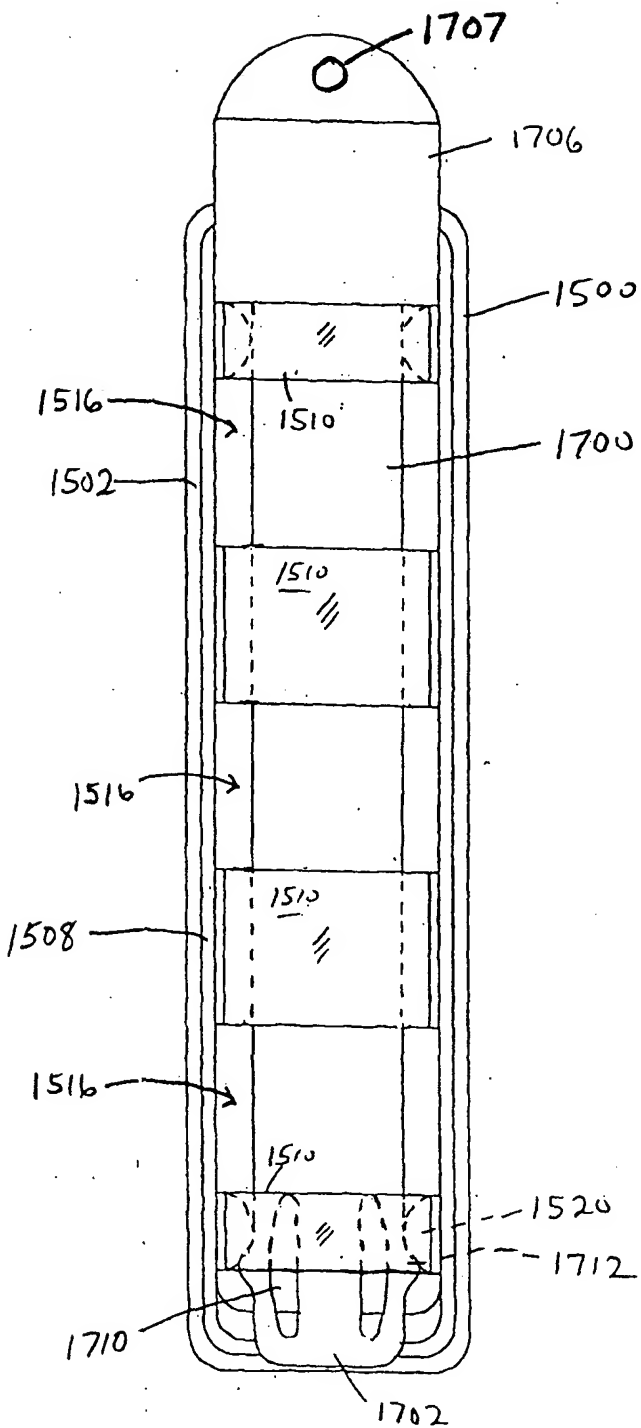


FIG. 18